

## مقایسه تجزیه فتوکاتالیستی رنگ سیاه ۲۶ از فاضلاب سنتیک با استفاده از نانو دی اکسید تیتانیوم ثبیت شده بر الیاف گونی و سوسپانسیون

سمیه علی جانی<sup>۱</sup>، محمد واعظ<sup>۲</sup>، عبدالصمد زرین قلم مقدم<sup>۳</sup>

دریافت: ۹۱/۰۹/۱۶ پذیرش: ۹۱/۱۲/۱۳

### چکیده

**زمینه و هدف:** نگرانی روز افزون در مورد تخلیه رنگ‌های سنتیک به آب‌های طبیعی در حین فرآیند رنگ‌دهی در صنایع مختلف، استفاده از عملیات‌های مؤثر جهت حذف و جداسازی این آلاینده‌ها را ضروری می‌سازد. در این مقاله، از نانو ذرات دی اکسید تیتانیوم ثبیت شده جهت تخریب فتوکاتالیستی رنگ اسیدی سیاه ۲۶ در یک راکتور بستر ثابت استفاده شد.

**روش پرسی:** در این پرسی، از الیاف گونی به عنوان پایه برای ثبیت فتوکاتالیست استفاده شد. خواص ساختاری فتوکاتالیست‌های ثبیت شده با استفاده از آنالیزهای *SEM* و *XRD* مورد بررسی قرار گرفت. به منظور بررسی عملکرد فرایند تخریب از اسپکتروفوتومتری جذب *UV-vis* و آنالیز مقدار اکسیژن مورد نیاز شیمیایی (*COD*) استفاده شد. اثر  $H_2O_2$  آبیون‌ها، مقدار  $pH$  و غلظت اولیه رنگ بر روی میزان رنگ‌زدایی در سیستم ثبیت شده مورد بررسی قرار گرفت و مقادیر بهینه آنها مشخص گردید.

**یافته‌ها:** آنالیز *SEM* تشکیل بلورهای  $TiO_2$  را بر روی الیاف گونی تأیید می‌کند. تابع *XRD* نشان می‌دهد که در نتیجه عملیات ثبیت، در ساختار بلوری فتوکاتالیست تغییر چنانچه اتفاق نمی‌افتد. نتایج نشان می‌دهد که میزان رنگ پاکیمانده در سیستم ثبیت شده پس از گذشت  $1 h$  از تجزیه رنگ اسیدی، ۴۰٪ و کمتر از سیستم سوسپانسیون (۵۴٪) است. نتایج *COD* نشان می‌دهد که ذرات  $TiO_2$  ثبیت شده بر روی الیاف گونی، تقریباً ۹۴٪ ترکیبات آلی موجود در محلول را پس از گذشت  $3 h$  از تجزیه فتوکاتالیستی رنگ اسیدی تخریب می‌کند.

**نتیجه‌گیری:** استفاده از نانو ذرات دی اکسید تیتانیوم ثبیت شده بر الیاف گونی می‌تواند به عنوان یک روش مؤثر و کم هزینه، در حذف آلاینده‌ها از فاضلاب به کار رود.

**واژگان کلیدی:** تصفیه فاضلاب سنتیک، نانو ذرات دی اکسید تیتانیوم، فتوکاتالیست ثبیت شده، الیاف گونی، رنگ اسیدی سیاه ۲۶

۱- دانش آموخته دکترای مهندسی شیمی، دانشکده مهندسی شیمی، دانشگاه تربیت مدرس

۲- دانشجوی دکترای مهندسی شیمی، دانشکده مهندسی شیمی، دانشگاه تربیت مدرس

۳- (نویسنده مسئول): دکترای مهندسی شیمی، استاد دانشکده مهندسی شیمی، دانشگاه تربیت مدرس zarrin@modares.ac.ir

## مقدمه

$\text{ZnO}$ ،  $\text{WO}_3$ ، نسبتاً خشی، غیرسمی، ارزان‌تر و در برابر خودگی مقاوم است. به هر حال، بسیاری از بررسی‌های تجزیه فتوکاتالیستی آلاینده‌های آبی با استفاده از  $\text{TiO}_2$  پودری و به فرم سوسپانس شده در محلول انجام می‌شود(۹). علاوه بر کلوخه شدن ذرات در سیستم دوغابی، از نقطه نظر جداسازی فتوکاتالیست از مخلوط واکنش، فرآیند بازیافت ذرات فتوکاتالیستی ( $30\text{-}200\text{ nm}$ ) از محیط، وقت‌گیر و پرهزینه است(۱۰). لذا ثبت کاتالیست روی یک پایه مناسب حائز اهمیت است. تاکنون از پایه‌های مختلفی مانند شیشه، کربن فعال، سیلیکا، مواد پلیمری، سنگ متخلخل (Pumice Stone)، فولاد ضدزنگ، ماسه، کوارتز، آلومینا و فوم‌های سرامیکی برای ثبت فیلم  $\text{TiO}_2$  استفاده شده است(۱۴-۱۰).

بسیاری از این زیر لایه‌ها، به صورت گرانوله به کار رفته‌اند که ممکن است بازده فتوکاتالیستی را به شدت تحت تأثیر قرار دهد، به دلیل این که  $\text{TiO}_2$  بارگذاری شده در منافذ این نوع پایه‌ها، دسترسی اندکی به نور فوتون دارد(۱۵). در این بررسی، برای اولین بار از الیاف گونی‌های بکار رفته در کارهای عمرانی، به عنوان پایه استفاده شده است و انتظار می‌رود که ساختار فیبر مانند گونی، دسترسی نور UV به ذرات فتوکاتالیستی را تسهیل کند. این نوع گونی، معمولاً در عایق‌کاری ساختمانی استفاده می‌گردد، لذا از پایداری مکانیکی و دوام خوبی به منظور استفاده در تصفیه آب بخوردار است. امکان جابجایی آسان آن نسبت به پایه‌های گرانوله، قیمت بسیار پایین و دسترسی آسان از سایر ویژگی‌های این نوع گونی است. در این مقاله، نانو ذرات دی اکسید تیتانیوم بر روی گونی ثبت شده و برای تجزیه فتوکاتالیستی رنگ اسیدی سیاه ۲۶ (Acid Black ۲۶) به کار رفته است. رنگ اسیدی سیاه در صنایع چاپ، نساجی و چرم به طور گسترده استفاده می‌شود و متعلق به خانواده رنگ‌های آزو (Azo Dyes) است که در ساختار آنها  $\text{N}=\text{N}-$  وجود دارد. رنگ‌های آزو حدود ۶۰ تا ۷۰٪ از رنگ‌های سنتیک را به خود اختصاص می‌دهند. سالیانه ۱۵٪ از این دسته از رنگ‌ها وارد فاضلاب‌ها شده و منجر به مشکلات زیست‌محیطی جدی می‌شوند(۲). در این بررسی از رنگ اسیدی سیاه ۲۶ به عنوان آلاینده مدل استفاده شده است. به علاوه، پارامترهای مؤثر بر بازده فتوکاتالیستی

حدوداً چهار میلیارد نفر از مردم سراسر جهان، به آب تمیز دسترسی ندارند و یا دسترسی اندکی به آب تمیز دارند. این نتایج آماری در آینده نزدیک، به دلیل تخلیه بی‌حد و اندازه میکرو‌آلاینده‌ها و آلاینده‌ها از جمله رنگ‌زاها و رنگ‌دانه‌ها به سیکل طبیعی آب افزایش خواهد یافت(۱). بررسی‌ها نشان می‌دهد که در دهه اخیر، ۱۰۰۰۰ نوع رنگ‌زا و رنگ‌دانه به صورت صنعتی تولید شده و بیش از  $0.7\text{ million ton}$  از این مواد در این صنایع، در حین فرایند رنگ‌دهی، وارد پساب می‌شود و منجر به مشکلات زیست‌محیطی می‌گردد(۲). تاکنون، بسیاری از روش‌های متداول مانند روش‌های فیزیکی (مثل جذب)، روش بیولوژیکی، روش‌های شیمیایی (مثل کلرزنی و ازن زنی) و ترکیبی از این روش‌ها به طور وسیعی برای تصفیه پساب‌های حاوی این آلاینده‌ها استفاده شده است(۱).

فرآیندهای متداول برای تصفیه این پساب‌ها مانند جذب یا انعقاد، به اندازه کافی مؤثر نیستند چون این روش‌ها، باعث تخریب ناقص ترکیبات آلاینده می‌شوند و فقط این ترکیبات را از یک فاز به فاز دیگر منتقل می‌کنند؛ به علاوه، استفاده از جاذب معمولاً گران و پرهزینه است(۱). سایر فرآیندهای متداول تصفیه آب مانند رسوب‌گذاری، فیلتراسیون، تکنولوژی‌های غشایی هزینه‌های عملیاتی بالای دارند و می‌توانند آلاینده‌های سمی ثانویه‌ای در اکوسیستم تولید کنند(۱). استفاده از فتوکاتالیست‌ها، به عنوان یکی از فرآیندهای اکسیداسیون پیشرفت، یک تکنیک مؤثر در تخلیص آب و هوا است(۳). فتوکاتالیست با تجزیه آلاینده یا تبدیل آن به موادی که کمتر مضر هستند، در حضور نور UV و یا نوری نزدیک به طیف UV، آلاینده را از بین می‌برد. به علاوه، این فرآیند می‌تواند در فشار اتمسفری و در دمای اتاق یا نزدیک به آن مورد استفاده قرار بگیرد(۴).

در میان انواع مختلف فتوکاتالیست‌ها،  $\text{TiO}_2$ ، به عنوان فتوکاتالیست نیمه‌هادی، در تبدیل آلاینده‌های آلی به مواد بی‌ضرر به طور گسترده‌ای استفاده می‌شود(۵-۷). در  $\text{TiO}_2$  در  $\text{ZnO}$ ,  $\text{CdS}$ ,  $\text{Fe}_2\text{O}_3$  مقایسه با سایر فتوکاتالیست‌ها مانند

الکتریکی مدل Lenton). در نهایت، به منظور حذف نانوذارت  $\text{TiO}_2$  ای که به پایه نیسیبیده، الیاف گونی پوشیده شده با  $\text{TiO}_2$  با آب دو بار تقطیر شسته و در دمای اتاق به مدت یک شبانه روز خشک گردید.

#### تعیین مشخصات فتوکاتالیست ثبت شده

به منظور بررسی ساختار بلوری برای دو نمونه پودر  $\text{TiO}_2$  ثبت شده و  $\text{TiO}_2$  پس از فرآیند ثبت، آنالیز XRD توسط دستگاه PHILIPS PW 1140 با منبع اشعه X از نوع  $\text{Cu K}\alpha$  انجام شد. کسر جرمی روتایل در هر دو نمونه با استفاده از رابطه زیر محاسبه گردید(۶):

$$X_R = \frac{(I_R / I_A)0.79}{1 + (I_R / I_A)0.79}$$

که در آن  $X_R$  جزء جرمی فاز کریستالی روتایل و  $I_A$  و  $I_R$  شدت بازتابش اشعه ایکس برای فاز کریستالی آناتاز (در  $2\theta = 25.4^\circ$ ) و روتایل (در  $2\theta = 27.5^\circ$ ) است. همچنین اندازه دانه‌های کریستال، از روی پهنای برآمدگی‌های متضاد در منحنی XRD از رابطه Scherrer محاسبه شد(۶). به علاوه، مورفوژی سطح نمونه‌ها (الیاف گونی قبل و پس از ثبت) توسط آنالیز SEM با استفاده از-BAL-TEC SCDOOS مورد بررسی قرار گرفته است. مساحت سطح پایه قبل و پس از ثبت، به وسیله ایزوترم جذب و دفع نیتروژن در دمای K ۷۷ به روش BET و با استفاده از Micromeritics ۲۰۰۰، Micromeritics، (ASAP ۲۰۰۰، USA) مشخص گردید.

#### بررسی فعالیت فتوکاتالیستی

به منظور انجام واکنش تجزیه فتوکاتالیستی رنگ اسیدی سیاه ۲۶ در سیستم ثبت شده، از یک ظرف مستطیلی پیریکس (۲۵۰ mm × ۲۵۰ mm × ۲۵۰ mm) به صورت ناپیوسته به عنوان راکتور استفاده شد. از ۴ لامپ UV-A Philips، ۹W،  $31250 - 25000 \text{ cm}^{-1}$  استفاده گردید. شدت تابش هر یک از لامپ‌ها، حدوداً ۱/۸ mW/cm<sup>2</sup> است. شدت تابش UV توسط تشعشع سنج UV (UVA ۳۶۵ Lutron) اندازه گرفته شد. فاصله لامپ‌ها تا سطح بستر ثبت شده ۵۰ mm است. فرایند تحریب در دمای C ۲۵ توسط ۷۰۰ mL از محلول آبی رنگ اسیدی

دی اکسید تیتانیوم در تجزیه فتوکاتالیستی رنگ اسیدی سیاه ۲۶، مورد بررسی قرار گرفته است.

#### مواد و روش‌ها

##### مواد شیمیایی مورد استفاده

در این بررسی، از رنگ اسیدی سیاه (۲۶ MW = ۶۹۷ g/mol)، تهیه شده از شرکت Sarturis، به عنوان رنگ‌زا استفاده گردیده است. نمک‌های مورد استفاده و همچنین H<sub>2</sub>O از شرکت Merck تهیه شده‌اند. کاتالیست مورد استفاده AEROXIDE TiO<sub>2</sub> P25 (اندازه متوسط ذرات حدوداً ۲۱ nm، درصد خلوص بالای ۹۸ و نسبت آناتاز به روتایل آن ۸۰ به ۲۰) است که از شرکت Evonik آلمان خریداری گردیده است.

ثبت نانوذرات دی اکسید تیتانیوم بر روی الیاف گونی ۵ g دی اکسید تیتانیوم وزن شده (ترازو مدل Sarturis) و به ۱۸۰ mL اتانول اضافه و به شدت همزده شد تا سوسپانسیونی از مخلوط تهیه شود (همزد Heidolph، MR ۳۰۰۱K). پس از گذشت نیم ساعت از همزدن مخلوط، از نیتریک اسید رقیق جهت انحلال بهتر و ایجاد مخلوط یکنواخت‌تر استفاده گردید. بدین منظور ۳ mL نیتریک اسید با pH=۳ به محلول اضافه شد و سوسپانسیون حاصله به مدت ۱۰ min در حمام التراسونیک (LABORETTE ۱۷) همزده شد. این روش آماده‌سازی، اساساً توسط گروهی از محققان در مرکز تحقیقات انرژی هلند ارائه شده و روش مناسبی برای تهیه سوسپانسیون TiO<sub>2</sub> جهت ثبت بر روی پایه‌های فیبر مانند گزارش شده است(۱۶).

در این بررسی، از الیاف گونی به عنوان پایه برای ثبت نانوذرات دی اکسید تیتانیوم استفاده شد. قطعه‌ای از الیاف گونی در ابعاد ۳mm × ۲۵۰ mm × ۲۵۰ mm توسط آب دو بار تقطیر (DI) و استون کاملاً شسته شد تا هیچ گونه آلودگی بر روی آن باقی نماند. سپس گونی برای مدت زمان مشخص درون محلول دوغابی TiO<sub>2</sub> غوطه‌ور گردید. پس از خشک شدن نمونه پوشیده شده با TiO<sub>2</sub> در دمای اتاق به مدت یک شبانه‌روز، محصول حاصله به مدت ۱ h در دمای C ۱۸۰ با سرعت گرمایش / سرمایش ۴ C/min ۴ کلسینه گردید (کوره

ثبت شده یعنی به اندازه  $0.2 \text{ g/L}$  استفاده شد. به علاوه امکان استفاده مجدد از فتوکاتالیست ثبت شده نیز بررسی گردید. برای این منظور، فعالیت فتوکاتالیستی  $\text{TiO}_2$  ثبت شده، پس از گذشت ۴ سیکل متواالی  $70 \text{ min}$  ارزیابی شد. به منظور ارزیابی تبدیل رنگ به موادمعدنی در حین تجزیه فتوکاتالیستی رنگ اصلی، از روش بررسی مقدار اکسیژن مورد نیاز شیمیایی (COD) استفاده گردید. برای اندازه گیری COD از ویال مخصوص هضم در راکتور شد و پس از گذشت  $2 \text{ h}$  از عملیات هضم در راکتور با دمای  $148^\circ\text{C}$ ، مقدار COD با استفاده از اسپکتروفوتومتر اندازه گرفته شد. میزان COD حذف شده با استفاده از رابطه زیر محاسبه گردید(۱۷).

$$\text{COD}_{\text{ه}} = (\text{COD}_{\text{۰}} - \text{COD}_{\text{i}}) / \text{COD}_{\text{۰}}$$

$\text{ COD}_{\text{۰}} = \text{ COD}_{\text{ه}} + \text{ COD}_{\text{i}}$

اکسیژن شیمیایی خواهی اولیه محلول و  $\text{ COD}_{\text{i}}$  اکسیژن شیمیایی خواهی محلول پس از گذشت مدت زمان مشخص است. به منظور اطمینان از صحت داده‌ها، آزمایشات در هر مرحله ۳ بار تکرار گردید و متوسط نتایج به دست آمده ارائه شد.

### یافته‌ها

نتایج حاصل از پراش اشعه ایکس نانو ذرات  $\text{TiO}_2$  پودری و  $\text{TiO}_2$  ثبت شده بر روی الیاف گونی در شکل ۱ نشان شده است. به علاوه، نتایج حاصل از محاسبات پارامترهای ساختاری، در جدول ۱ آورده شده است. با مقایسه اندازه کریستال و درصد آناتاز در نمونه  $\text{TiO}_2$  پودری و نمونه ثبت شده می‌توان دریافت که فرآیند تثبیت، تأثیر قابل توجهی در تعییر مشخصات ساختاری فتوکاتالیست نداشته است. به علاوه نتایج مربوط به مساحت سطح نشان می‌دهد که سطح الیاف گونی قبل و پس از تثبیت به ترتیب  $1123 \text{ m}^2/\text{g}$  و  $909 \text{ m}^2/\text{g}$  است.

جدول ۱: نتایج آنالیز ساختاری نمونه‌های کاتالیستی حاصل از نتایج XRD

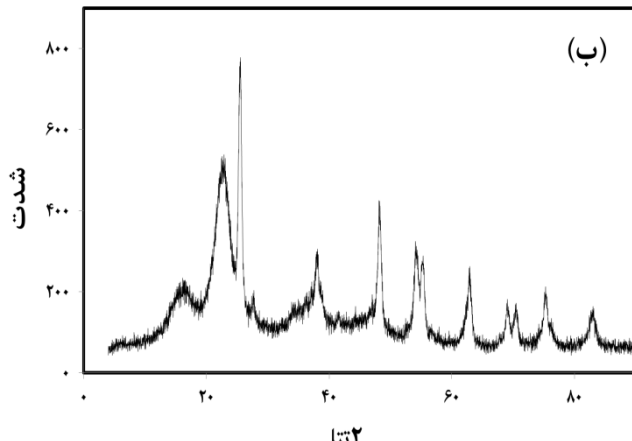
نمونه	درصد وزنی آناتاز در نمونه	اندازه بلور (nm)
پودر $\text{TiO}_2$ ثبت نشده	۸۸/۵۴	۲۹
تثبیت شده روی الیاف گونی $\text{TiO}_2$	۸۵/۳	۳۲

۲ نشان داده شده است. تصاویر SEM الیاف گونی، شکل ۲ (الف)، ذرات میله‌ای شکل با سطحی صیقلی را نشان

سیاه ۲۶ با غلاظت اولیه  $50 \text{ ppm}$  صورت گرفت. جهت تأمین هوای مورد نیاز برای هوادهی و همچنین همزدن محلول‌ها، از دو پمپ هوا (Hailea Aquarium, ACO-۵۵۰۴) با دبی  $1 \text{ L/min}$  استفاده شد. هر گونه اثر حرارتی ناشی از لامپ‌ها توسط فن تعبیه شده در راکتور، کترل می‌گردد. به منظور بررسی اثر pH محلول بر تجزیه فتوکاتالیستی رنگ، pH توسط اسیدینتیک و یا سود  $0.1 \text{ M}$  تغییر داده شد (Martini, MI56 pH متر با مدل Black ۲۶ mg/L در محدوده  $0.2-0.8 \text{ mg/L}$ ). به علاوه، به منظور بررسی اثر غلاظت آب اکسیژن بر تجزیه Acid  $\text{NaCl}$ ,  $\text{Na}_2\text{SO}_4$  و  $\text{NaHCO}_3$  با غلاظت  $1/5 \text{ mM}$  استفاده گردید تا اثر آنیون‌ها بر سرعت تجزیه رنگ اسیدی سیاه ۲۶ بررسی گردد. نمونه‌ها، از یک محل ثابت و در فواصل زمانی مشخص برداشته شدند. به منظور تعیین مقدار رنگ حافظ شده، ابتدا نمونه‌های جمع‌آوری شده فیلتر  $0.22 \mu\text{m}$  (BIOFIL) استفاده شده و سپس مورد آنالیز قرار گرفتند. بدین منظور، از دستگاه اسپکتروفوتومتر UV-vis Varian Carry ۵۰ conc استفاده گردید. مقدار ماکریم جذب برای رنگ اسیدی سیاه ۲۶ در محدوده نور مرئی در طول موج  $550 \text{ nm}$  است. به علاوه، به منظور بررسی اثر نانو ذرات ثبت شده روی الیاف گونی، تجزیه فتوکاتالیستی رنگ اسیدی سیاه ۲۶ در ۴ سیستم مختلف با یکدیگر مقایسه شدند: (الف) الیاف گونی با تابش نور UV (ب)  $\text{TiO}_2$  ثبت شده بدون تابش نور UV، (ج) UV و (د)  $\text{TiO}_2$  ثبت شده با تابش نور UV. در هر ۴ سیستم، از محلول رنگ با غلاظت اولیه  $0.528 \text{ mg/L}$  استفاده pH خشی و آب اکسیژن با غلاظت  $0.5 \text{ ppm}$  در سیستم  $\text{TiO}_2$  در وزن معادل گردید. در سیستم سوسپانسیون از وزن معادل  $29 \text{ mg/L}$  در سیستم

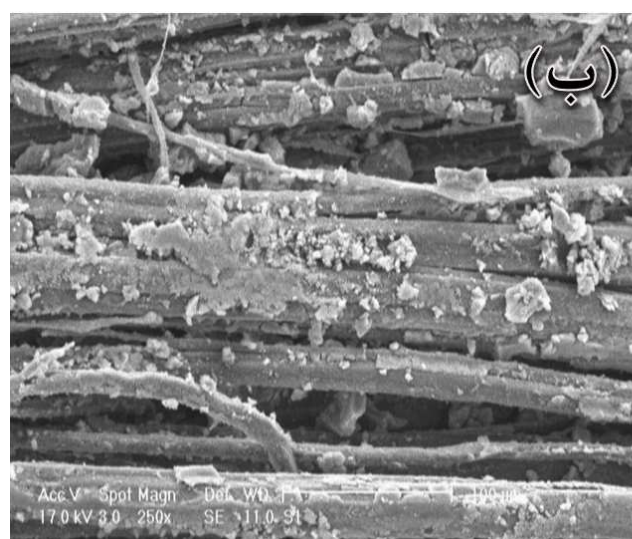
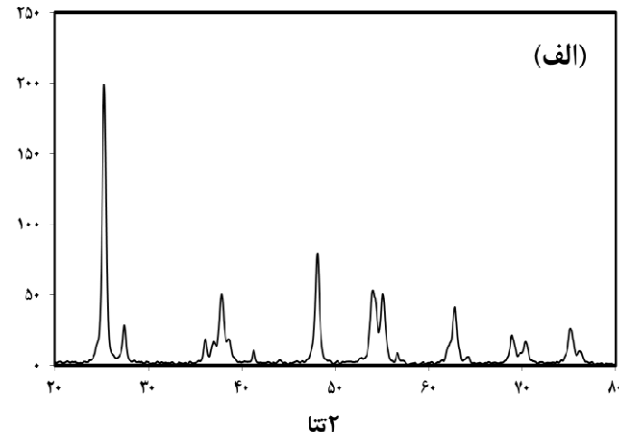
نتایج میکروسکوپ الکترونی رویشی الیاف گونی و نانو ذرات دی‌اکسید تیتانیوم ثبت شده بر روی پایه در شکل

ساختاری مشابه با الیاف گونی بدون حضور نانو ذرات دی اکسید تیتانیوم دارد و ساختار فیر مانند پایه همچنان حفظ شده است.



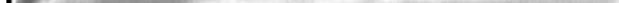
شکل ۱: (الف) آنالیز پراش اشعه ایکس نمونه پودر قبل از ثبیت ، (ب) فتوکاتالیست ثبیت شده روی الیاف گونی

می دهد. همان‌گونه که در شکل ۲ (ب) دیده می‌شود، با وجود اینکه پوششی از نانو ذرات دی اکسید تیتانیوم روی سطح الیاف تشکیل شده است، اما سیستم ثبیت شده



شکل ۲: (الف) تصاویر میکروسکوپ الکترونی روبشی الیاف گونی (ب) الیاف گونی پس از ثبیت

به منظور ارزیابی فعالیت فتوکاتالیستی نانو ذرات دی اکسید تیتانیوم ثبیت شده بر روی الیاف گونی، ۴ فرآیند تجزیه فتوکاتالیستی رنگ اسیدی سیاه ۲۶ با یکدیگر مقایسه می‌شوند: (الف) الیاف گونی با تابش نور UV، (ب) ثبیت شده بدون تابش نور UV، (ج)  $TiO_2$  دوغابی با تابش نور UV و (د)  $TiO_2$  ثبیت شده با تابش نور UV. نتایج در شکل ۳ نشان داده شده است. لازم بذکر است که رنگ‌زدایی رنگ اسیدی سیاه ۲۶، به صورت واکنش مرتبه اول در نظر گرفته شده است که



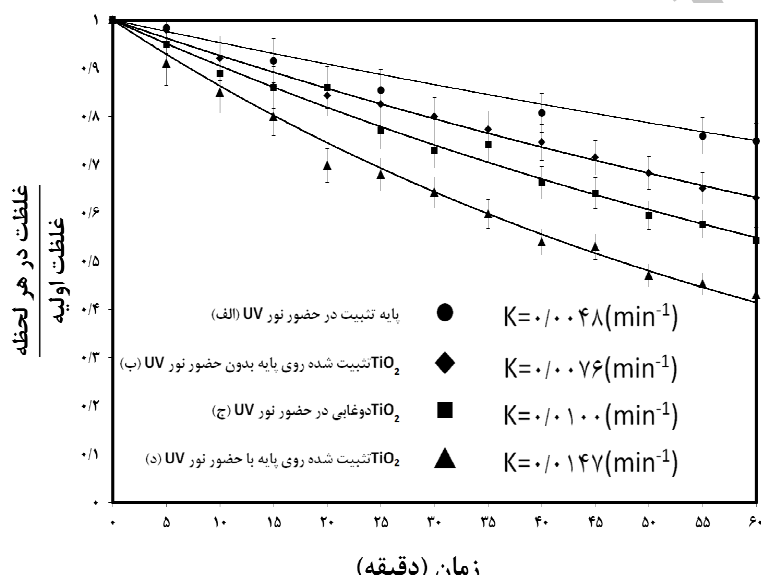
در بخش‌های بعدی صحت این فرض به اثبات خواهد رسید. از آنجا که محدوده تغییرات مرتبه واکنش‌های فتوکاتالیستی بسیار محدود و مشخص است، از روش انتگرال‌گیری برای تعیین مرتبه واکنش در این مرحله استفاده شد. در این روش، پس از انتگرال‌گیری از معادله حدسی سرعت، خطی بودن تابع معینی از غلظت بر حسب زمان بر اساس روش ترسیمی بررسی می‌گردد. در صورت خطی بودن، مرتبه حدس زده شده برای واکنش صحیح است. در غیراین صورت مرتبه دیگری برای

به حد اشیاع خود می‌رسد و غلظت رنگ کاهش چندانی پیدا نمی‌کند. این نشان می‌دهد که الیاف گونی فعالیت فتوکاتالیستی ندارد و تجزیه رنگ در این مدت زمان، می‌تواند به دلیل تابش نور UV و حضور  $\text{H}_2\text{O}_2$  باشد.

دی‌اکسید تیتانیوم تثبیت شده بر روی الیاف گونی بدون تابش نور UV، نیز فعالیت فتوکاتالیستی اندکی را نشان می‌دهد (شکل ۳ (ب)). میزان جذب رنگ در این حالت، بیشتر از حالت (الف) است.

سرعت واکنش حدس زده شده و بررسی می‌گردد. در این مرحله، داده‌های آزمایشگاهی با معادلات محتمل سرعت (مرتبه اول یا مرتبه صفر) مورد ارزیابی قرار گرفته و در این میان، واکنش مرتبه اول بیشترین هم‌خوانی را با داده‌ها داشتند. هرچند این نتیجه‌گیری با توجه به نوع رنگ‌زا و سایر مقالات قابل انتظار بود.

نتایج تجربی نشان می‌دهد که جذب رنگ اسیدی بر روی UV، الیاف گونی، پس از گذشت ۶۰ min از زمان تابش نور UV،

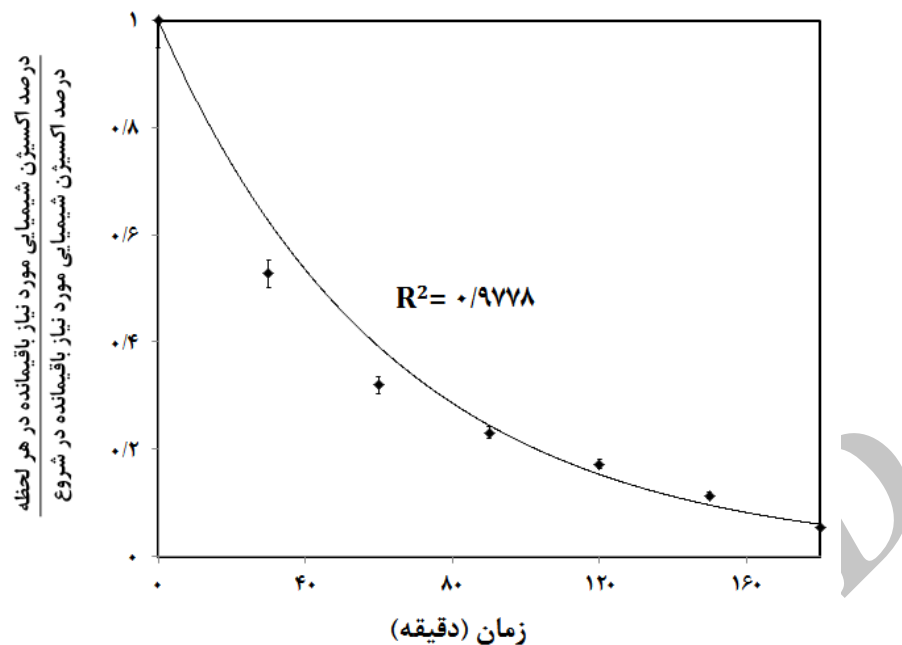


شکل ۳: اثر فتوکاتالیست روی سرعت تجزیه رنگ اسیدی سیاه ۲۶ برای (الف) الیاف گونی با تابش نور UV. (ب) دی‌اکسید تیتانیوم تثبیت شده بدون تابش نور UV، (ج) دی‌اکسید تیتانیوم دوغایی با تابش UV و (د) دی‌اکسید تیتانیوم تثبیت شده با تابش نور UV (غلظت اولیه رنگ: ۵۰ ppm آب اکسیژن:  $0.528 \text{ mg/L}$ ،  $\text{pH} = 6$  و غلظت آئیون:  $0 \text{ mM}$ )

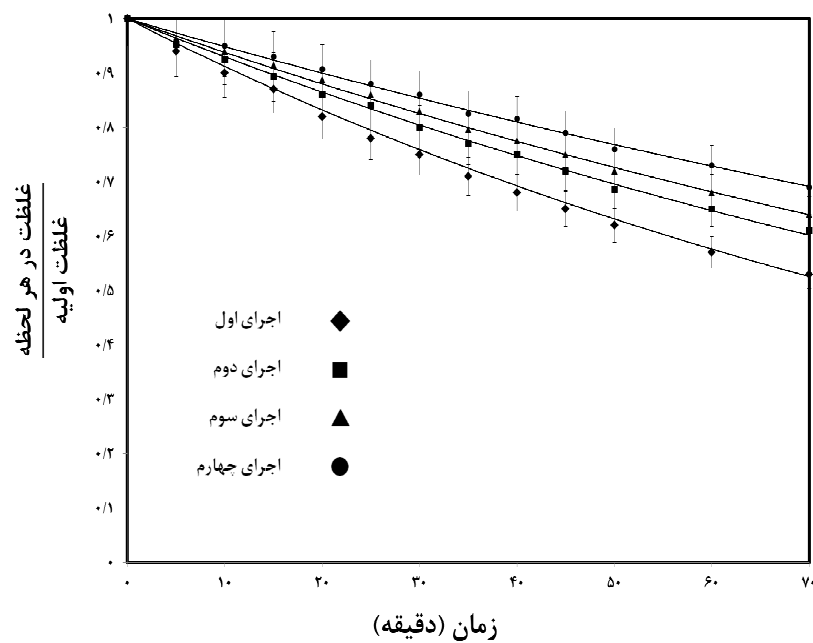
نشان می‌دهد که پس از گذشت ۳ h از مدت زمان تابش، تقریباً ۹۴٪ اکسیژن مورد نیاز شیمیایی محلول کاهش می‌یابد. به منظور بررسی امکان استفاده مجدد از فتوکاتالیست تثبیت شده، تجزیه فتوکاتالیستی رنگ پس از گذشت چهار سیکل ۷۰ min ارزیابی شد (شکل ۵). یافته‌ها نشان می‌دهد که فعالیت فتوکاتالیستی  $\text{TiO}_2$  تثبیت شده روی الیاف گونی در پایان سیکل چهارم به اندازه ۷۷٪ مقدار اولیه‌اش باقی می‌ماند.

با توجه به شکل ۳ (ج) و (د)، میزان رنگ باقیمانده در سیستم تثبیت شده پس از گذشت ۱ h تقریباً ۴۰٪ و در سیستم دوغایی ۵۴٪ از غلظت اولیه رنگ است که به معنای درصد حذف بیشتر آلاینده در حالت تثبیت شده نسبت به حالت دوغایی است.

نتایج آنالیز اکسیژن مورد نیاز شیمیایی به منظور بررسی تجزیه رنگ و واسطه‌های حاصله در شکل ۴ آورده شده است. نتایج



شکل ۴: حذف اکسیژن مورد نیاز شیمیایی محلول در طی تجزیه فتوکاتالیستی رنگ اسیدی سیاه ۲۶  
(غلظت رنگ pH.ppm ۲۵ mg/L،  $\text{H}_2\text{O}_2$ : ۰/۰۵۲۸ mM و غلظت آنیون: ۰ mM)



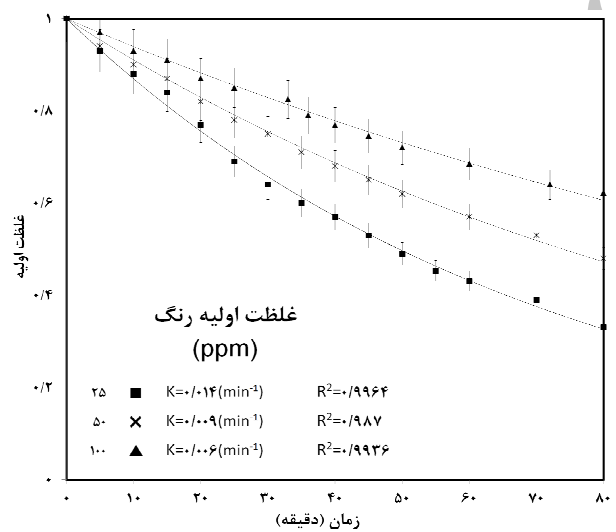
شکل ۵: عملکرد فتوکاتالیستی سیکلی نانو ذرات  $\text{TiO}_2$  ثابت شده روی الیاف گونی برای تجزیه رنگ اسیدی سیاه ۲۶  
(غلظت رنگ pH.ppm ۲۵ mg/L،  $\text{H}_2\text{O}_2$ : ۰/۰۵۲۸ mM و غلظت آنیون: ۰ mM)

کاهش می‌یابد. بر این اساس، مقدار بهینه غلظت رنگ،  $25 \text{ ppm}$  گزارش می‌شود. به علاوه، نتایج نشان می‌دهد که با تغییر غلظت اولیه رنگ اسیدی سیاه،  $26$ ، سرعت تجزیه رنگ نسبت به زمان در سیستم ثبیت شده به صورت نمایی تغییر می‌کند. ضرایب تصحیح ( $R^2$ ) در تمامی شرایط بزرگ‌تر از  $0.98$  است، بنابراین فرضیه واکنش مرتبه اول در مورد تجزیه این رنگ اسیدی در سیستم ثبیت شده منطقی است.

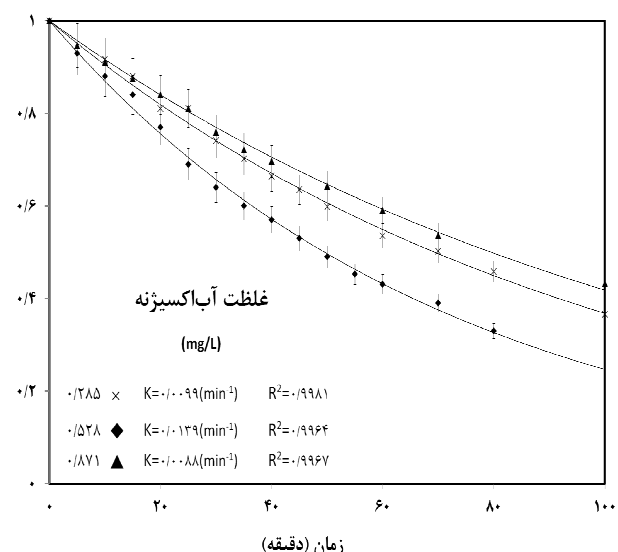
در این بررسی اثر حضور چهار نمک،  $\text{NaCl}$ ,  $\text{Na}_2\text{SO}_4$ ,  $\text{K}_2\text{CO}_3$  و  $\text{NaHCO}_3$  بر سرعت تجزیه فتوکاتالیستی رنگ اسیدی سیاه  $26$  در سیستم ثبیت شده مورد بررسی قرار گرفت. همان‌گونه که در شکل  $6$  (ج) مشاهده می‌شود، تأثیر آنیون‌ها در کاهش فعالیت فتوکاتالیست برای تجزیه رنگ اسیدی سیاه  $26$  به صورت زیر است:

$$\text{SO}_4^{2-} < \text{Cl}^- < \text{HCO}_3^- < \text{CO}_3^{2-}$$

شکل  $6$  (الف)، میزان رنگ‌زدایی رنگ اسیدی سیاه  $26$  را براساس مدت زمان تابش برای غلظت‌های مختلف پراکسید هیدروژن توسط فتوکاتالیست ثبیت شده همراه با مقادیر ثوابت سرعت واکنش ( $k$ ) و همچنین ضریب تصحیح ( $R^2$ ) نشان می‌دهد. همان‌گونه که نتایج شکل  $6$  (الف) نشان می‌دهد، با افزایش غلظت پراکسید هیدروژن از  $0.285 \text{ mg/L}$  تا  $0.528 \text{ mg/L}$  سرعت تجزیه رنگ افزایش می‌یابد. به هر حال، با افزایش غلظت پراکسید هیدروژن بالاتر از  $0.528 \text{ mg/L}$ ، کاهش در سرعت تجزیه رنگ مشاهده می‌شود. در شکل  $6$  (ب)، تجزیه رنگ اسیدی سیاه  $26$  توسط  $\text{TiO}_2$  ثبیت شده بر روی الیاف گونی با غلظت‌های مختلف سرعت واکنش و همچنین ضرایب تصحیح ( $R^2$ ) نشان داده شده است. همان‌گونه که نتایج نشان می‌دهد با افزایش غلظت رنگ اسیدی سرعت تجزیه رنگ

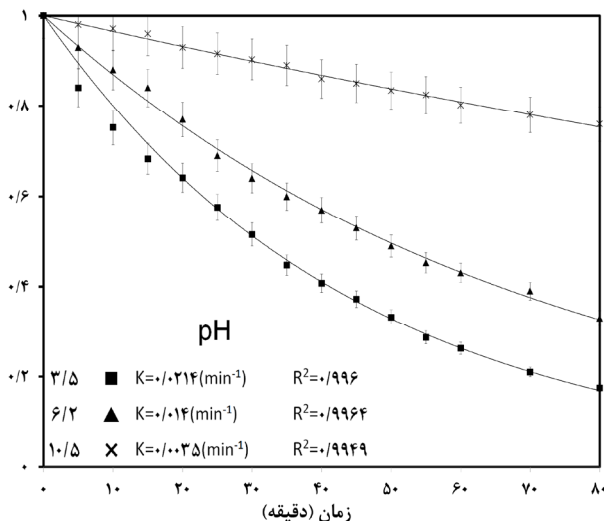


(ب) رنگ‌زدایی رنگ اسیدی سیاه  $26$  توسط  $\text{TiO}_2$  ثبیت شده برای مقادیر مختلف رنگزا ( $\text{H}_2\text{O}_2$ :  $0.528 \text{ mg/L}$ ,  $\text{pH}: 5.0 \text{ ppm}$ ,  $\text{H}_2\text{O}_2$ :  $0.285 \text{ mg/L}$ ,  $\text{pH}: 5.0 \text{ ppm}$ )

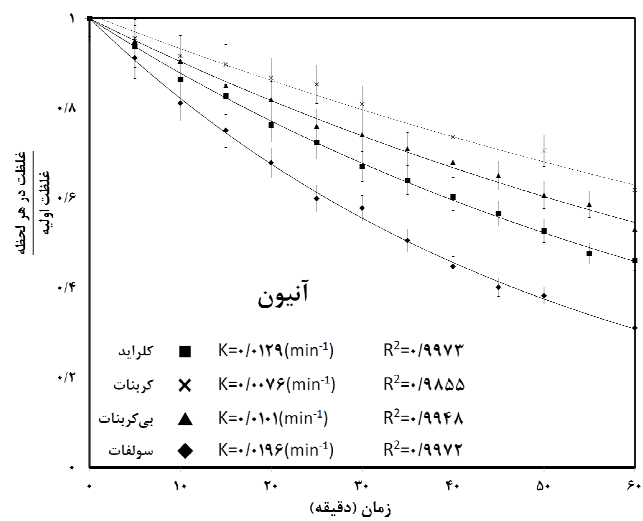


(الف) رنگ‌زدایی رنگ اسیدی سیاه  $26$  توسط  $\text{TiO}_2$  ثبیت شده بر روی الیاف گونی در حضور مقادیر مختلف پراکسید هیدروژن (غلظت رنگ  $5.0 \text{ ppm}$ ,  $\text{H}_2\text{O}_2$ :  $0.5 \text{ ppm}$ ,  $\text{pH}: 5.0 \text{ ppm}$ )

شکل  $6$ : اثر مقادیر مختلف آب اکسیژنه، رنگزا،  $\text{pH}$  و آنیون‌ها روی تجزیه فتوکاتالیستی رنگ اسیدی سیاه  $26$



(د) اثر تغییر pH بر تجزیه فتوکاتالیستی رنگ اسیدی سیاه ۲۶ توسط  $\text{TiO}_2$  شدیت شده روی الیاف گونی (غلظت رنگ اسیدی سیاه ۲۶ mg/L، ۵۰ ppm  $\text{H}_2\text{O}_2$ : ۰.۵ mM و غلظت آنیون: ۰ mM)



(ج) اثر افزودن آنیون بر رنگ زایی رنگ اسیدی سیاه ۲۶ توسط  $\text{TiO}_2$  شده بر الیاف گونی (غلظت رنگ اسیدی سیاه ۲۶ mg/L، ۵۰ ppm  $\text{H}_2\text{O}_2$ : ۰.۵ mM و pH: ۱.۵ mM)

شکل ۶: اثر مقادیر مختلف آب اکسیژنه، رنگ زا، pH و آنیونها روی تجزیه فتوکاتالیستی رنگ اسیدی سیاه ۲۶

ادامه شکل ۶: اثر مقادیر مختلف آب اکسیژنه، رنگ زا، pH و آنیونها روی تجزیه فتوکاتالیستی رنگ اسیدی سیاه ۲۶

مساحت سطح کاتالیست پس از تشییت نیز نشان می‌دهد که می‌توان از نمونه تشییت شده خواص فتوکاتالیستی قابل قبولی انتظار داشت. با توجه به نتایج SEM و حفظ ساختار فیرمانند، پایه پس از تشییت نیز می‌توان انتظار داشت که این ساختار، می‌تواند امکان نفوذ نور UV را به فتوکاتالیست  $\text{TiO}_2$  فراهم سازد. تحقیقات نشان می‌دهد که در مواد فیری در مقایسه با پایه‌های گرانوله، دسترسی  $\text{TiO}_2$  به نور افزایش می‌یابد به دلیل آن که بخش اعظمی از ذرات  $\text{TiO}_2$  در سطح بارگذاری شده و در منفذ محبوب نمی‌شوند (۱۵).

- مقایسه تجزیه فتوکاتالیستی رنگ اسیدی سیاه ۲۶ در سیستم دوغابی و تشییت شده

به منظور ارزیابی فعالیت فتوکاتالیستی نانو ذرات دی اکسید تیتانیوم تشییت شده بر روی الیاف گونی، ۴ فرآیند تجزیه فتوکاتالیستی رنگ اسیدی سیاه ۲۶ با یکدیگر مقایسه شدند.

در شکل ۶ (د) اثر تغییر pH بر تجزیه فتوکاتالیستی رنگ اسیدی  $\text{TiO}_2$  تشییت شده نشان داده شده است. همان‌گونه که مشاهده می‌شود، با افزایش pH، میزان رنگ‌زدایی کاهش می‌یابد.

## بحث

- تعیین مشخصات کاتالیست تشییت شده

مشخصات ساختار بلوری کاتالیست تشییت شده با استفاده از آنالیز پراش اشعه ایکس مورد بررسی قرار گرفت. نتایج XRD نشان داد که خواص ساختاری نانو ذرات  $\text{TiO}_2$  پودری و تشییت شده تفاوت چندانی ندارد و تفاوت اندکی که در نتایج پراش اشعه ایکس بین دو نمونه دیده می‌شود، می‌تواند به دلیل حضور پایه باشد؛ بنابراین انتظار می‌رود که نمونه تشییت شده خواص کاتالیستی مشابه با نمونه پودری ارائه دهد. افزایش

- بررسی اثر پارامترهای عملیاتی بر تجزیه فتوکاتالیستی رنگ اسیدی سیاه ۲۶ در سیستم تشیت شده  
اثر پراکسید هیدروژن

همان‌گونه که نتایج شکل ۶ (الف) نشان می‌دهد، با افزایش پراکسید هیدروژن، سرعت تجزیه رنگ افزایش و سپس کاهش می‌یابد. اثر مثبت  $H_2O_2$  را می‌توان به تجزیه پراکسید هیدروژن و افزایش تولید اکسیژن  $H_2O_2 + \frac{1}{2} O_2 \rightarrow H_2O_2 + OH^-$  مربوط کرد. به علاوه، پراکسید هیدروژن می‌تواند به عنوان یک منبع از رادیکال‌های هیدروکسیل عمل کند،  $H_2O_2 + e^- \rightarrow OH^\bullet + OH^-$  لذا بدلیل اکسیداسیون آلاینده توسط رادیکال هیدروکسیل، باعث بهبود حذف آلاینده می‌شود. در غلاظت‌های بالا، پراکسید هیدروژن به عنوان یک عامل مزاحم که از بین برنده رادیکال هیدروکسیل است، عمل خواهد کرد (۲۱).

#### اثر غلاظت اولیه رنگ اسیدی سیاه ۲۶

همان‌گونه که نتایج شکل ۶ (ب) نشان می‌دهد، سرعت تجزیه رنگ با افزایش غلاظت رنگ اسیدی کاهش می‌یابد. این مسئله به دلیل افزایش غلاظت واسطه‌های حاصل از تجزیه رنگ‌ها و رقابت آنها با رنگ‌های اصلی برای جذب فوتون است (۱۹). به علاوه، با افزایش غلاظت آلاینده و واسطه‌های حاصل از تجزیه آلاینده، تعداد رادیکال‌های هیدروکسیل‌ها برای اکسیداسیون آلاینده کاهش می‌یابد (۱۹). همچنین افزایش غلاظت رنگ در محلول، موجب کاهش دستری سطوح فعال کاتالیست به نور می‌گردد. در واقع حضور مولکول‌های رنگ، باعث پراکنده شدن نور شده که به نوبه خود با کاهش فعالیت کاتالیست و در نتیجه کاهش میزان حذف رنگ همراه است.

#### اثر آنیون

از آنجا که احتمال حضور یون‌های معدنی حل شده در پساب‌های صنایع رنگ وجود دارد، به منظور استفاده کاربردی و عملی از فرآیند فتوکاتالیستی  $TiO_2$  برای تصفیه پساب، فهم اصول کلی اثر آنیون روی عملکرد فتوکاتالیستی از اهمیت خاصی برخوردار است (۱). این مواد ممکن است با سایر گونه‌ها برای رسیدن به سایت‌های فعال روی سطح  $TiO_2$  رقابت کنند و یا این که باعث غیرفعال شدن فتوکاتالیست شوند (۲۲). همان‌گونه که در شکل ۶ (ج) مشاهده می‌شود، آنیون‌ها با توجه به قدرت

با توجه به نتایج نشان داده شده در شکل ۳ (الف) و (ب)، میزان حذف رنگ توسط  $TiO_2$  تشیت شده روی الیاف گونی در مقایسه با الیاف گونی بدون کاتالیست بیشتر است که این نتیجه را می‌توان به حضور دی‌اکسید تیتانیوم ته نشین شده روی سطح الیاف نسبت داد. با بررسی نتایج شکل ۳ (ج) و (د) و مقایسه آن با نتایج شکل ۳ (ب) و بالاتر بودن مقدار حذف رنگ در سیستم کاتالیستی تحت تابش نور UV در مقایسه با سیستم بدون حضور نور UV، مشخص می‌شود که تجزیه فتوکاتالیستی نسبت به جذب، سه‌هم عمدت‌های در رنگ‌زدایی رنگ اسیدی سیاه ۲۶ دارد. به علاوه، مقایسه نتایج مربوط به حذف رنگ در سیستم تشیت شده و سوسپانس شده نیز بهبود نفوذ نور در سیستم تشیت شده را تأیید می‌کند. در سیستم تشیت شده، لایه نازک‌تری از سیال روی سطح فتوکاتالیست وجود دارد، بنابراین عمق نفوذ نور در سیستم تشیت شده کاهش می‌یابد. به علاوه، پراکنده شدن نور توسط ذرات  $TiO_2$  کمتر است (۱۸-۲۰).

#### - بررسی عملکرد فتوکاتالیستی $TiO_2$ تشیت شده روی الیاف گونی توسط COD

با توجه به اینکه در حین تجزیه فتوکاتالیستی رنگ اسیدی سیاه ۲۶، واسطه‌های آلی مختلفی تولید می‌شود، بنابراین تجزیه رنگ باید بر اساس تجزیه رنگ اصلی و واسطه‌های حاصله ارزیابی شود. بدین منظور، از آنالیز مقدار اکسیژن مورد نیاز شیمیایی (COD)، استفاده شد. نتایج شکل ۴ و کاهش ۹۴٪ اکسیژن‌خواهی در حین تجزیه کاتالیستی رنگ اسیدی سیاه ۲۶، نشان‌دهنده قابلیت  $TiO_2$  تشیت شده روی الیاف گونی در تجزیه بخش اعظمی از ترکیبات آلی موجود در محلول رنگ است.

#### - بررسی امکان استفاده مجدد از فتوکاتالیست $TiO_2$ تشیت شده روی الیاف گونی

باقي ماندن فعالیت فتوکاتالیستی به اندازه ۷۷٪ مقدار اولیه آن پس از گذشت ۲۸۰ min، نشان‌دهنده چسبندگی خوب ذرات  $TiO_2$  به سطح الیاف باشد که پس از مدت طولانی (۲۸۰ min) نیز از سطح آن به راحتی جدا نمی‌شود. به طور کلی، این نتایج نشان می‌دهد که امکان استفاده مجدد از  $TiO_2$  تشیت شده روی الیاف گونی در تصفیه آب آلوده وجود دارد.

۶۰٪ و بیش از میزان حذف رنگ توسط سیستم دوغایی (۴۶٪) است.

### تشکر و قدردانی

بدین وسیله از شرکت Evonik Degussa Iran نانو ذرات دی اکسید تیتانیم از این تحقیق حمایت کردند، سپاسگزاری می گردد.

اکسیدکنندگی شان روی فعالیت فتوکاتالیستی اثر گذار هستند. در واقع، اثر آنیون را می توان به این صورت تفسیر نمود که با توجه به قدرت اکسیدکنندگی آنیون، آنیون به عنوان گیرنده رادیکال هیدروکسیل  $TiO_2$  عمل می کند و آنیون جایگزین شده روی سطح فتوکاتالیست، باعث افزایش سرعت بازترکیب زوج الکترون - حفره می شود(۱).

### اثر pH

به دلیل اینکه پساب خروجی می تواند در حالت های مختلفی از نظر pH وجود داشته باشد، سه محدوده pH در نظر گرفته می شود. pH اسیدی، pH خنثی و pH بازی. در pH های کمتر از ۶/۲۵ ( نقطه ZPC دی اکسید تیتانیم (۲۳، ۲۴)، سطح  $TiO_2$  دارای بار مثبت می شود که نتیجه آن افزایش جذب مولکول های آنیونی رنگ بر روی سطح کاتالیست و در نتیجه افزایش میزان تخریب خواهد بود. با افزایش pH، تعداد سایتها با بار منفی افزایش می یابد. از آنجا که سایتها منفی روی سطح فتوکاتالیست نمی توانند در جذب آنیون های رنگی مؤثر باشند، در نتیجه افزایش pH با کاهش توانایی تخریب و رنگ بری فتوکاتالیست همراه خواهد بود(۲۱). به علاوه، گزارش شده که تغییر pH در حوالی نقطه ZPC باعث به هم چسبیدن ذرات کاتالیست و در نتیجه تهشیش شدن ذرات می شود. این ته نشینی کاهش بازده حذف را در پی خواهد داشت(۲۵).

### نتیجه گیری

تجزیه فتوکاتالیستی رنگ اسیدی سیاه، با استفاده از نانو ذرات دی اکسید تیتانیوم ثبت شده روی الیاف گونی مورد بررسی قرار گرفت. بر اساس نتایج XRD، بر اثر فرآیند ثبت، تغییری در ساختار فتوکاتالیست ثبت شده در مقایسه با  $TiO_2$  پودری حاصل نگردید. نتایج SEM تشکیل ذرات  $TiO_2$  را بر روی الیاف گونی تأیید می کند. آنالیز COD نشان می دهد که نانو ذرات دی اکسید تیتانیوم ثبت شده روی الیاف گونی، ۹۴٪ ترکیبات آلی موجود در محلول را پس از گذشت ۳h از تجزیه فتوکاتالیستی رنگ اسیدی تخریب می کند. نتایج حاصل از اسپکتروفوتومتری نشان می دهد که میزان رنگ بری رنگ اسیدی توسط  $TiO_2$  ثبت شده پس از گذشت ۱h، تقریبا

### منابع

1. Chong MN, Jin B, Chow CWK, Saint C. Recent developments in photocatalytic water treatment technology: A review. *Water Research*. 2010;44(10):2997-3027.
2. Rajeshwar K, Osugi ME, Chanmanee W, Chenthamarakshan CR, Zanoni MVB, Kajitvichyanukul P, et al. Heterogeneous photocatalytic treatment of organic dyes in air and aqueous media. *Journal of Photochemistry and Photobiology C: Photochemistry Reviews*. 2008;9(4):171-92.
3. Dehghani Fard E, Jonidi Jafari A, Rezae Kalantari R, Gholami M, Esrafil A. Photocatalytic removal of aniline from synthetic wastewater using ZnO nanoparticle under ultraviolet irradiation. *Iranian Journal of Health and Environment*. 2012;5(3):183-94 (in Persian).
4. Jantawasu P, Sreethawong T, Chavadej S. Photocatalytic activity of nanocrystalline mesoporous-assembled TiO<sub>2</sub> photocatalyst for degradation of methyl orange monoazo dye in aqueous wastewater. *Chemical Engineering Journal*. 2009;155(1-2):223-33.
5. Hemmati BS, Nasseri S, Nabizadeh R, Mahvi AH, Javadi AH. Photocatalytic degradation of phenol in aqueous solutions by Fe(III)-doped TiO<sub>2</sub>/UV process. *Iranian Journal of Health and Environment*. 2011;3(4):369-80 (in Persian).
6. Vaez M, Zarringhalam Moghaddam A, Mahmoodi NM, Alijani S. Decolorization and degradation of acid dye with immobilized titania nanoparticles. *Process Safety and Environmental Protection*. 2012;90(1):56-64.
7. Vaez M, Zarringhalam Moghaddam A, Alijani S. Optimization and modeling of photocatalytic degradation of azo dye using a response surface methodology (RSM) based on the central composite design with immobilized titania nanoparticles. *Industrial & Engineering Chemistry Research*. 2012;51(11):4199-207.
8. López-Muñoz M-J, Grieken RV, Aguado J, Marugán J. Role of the support on the activity of silica-supported TiO<sub>2</sub> photocatalysts: Structure of the TiO<sub>2</sub>/SBA-15 photocatalysts. *Catalysis Today*. 2005;101(3-4):307-14.
9. Belhekar AA, Awate SV, Anand R. Photocatalytic activity of titania modified mesoporous silica for pollution control. *Catalysis Communications*. 2002;3(10):453-58.
10. Shan AY, Ghazi TIM, Rashid SA. Immobilisation of titanium dioxide onto supporting materials in heterogeneous photocatalysis: A review. *Applied Catalysis A: General*. 2010;389(1-2):1-8.
11. Khodadadi A, Ganjidoust H, Ijad panah H. Treatment and kinetic of synthetic wastewater containing B-naphthol by Nano titanium oxide coated on activated carbon. *Iranian Journal of Health and Environment*. 2012;4(4):401-10 (in Persian).
12. Yang H, Deng Y, Du C. Synthesis and optical properties of mesoporous MCM-41 containing doped TiO<sub>2</sub> nanoparticles. *Colloids and Surfaces A: Physicochemical and Engineering Aspects*. 2009;339(1-3):111-17.
13. Subrahmanyam M, Boule P, Durga Kumari V, Naveen Kumar D, Sancelme M, Rachel A. Pumice stone supported titanium dioxide for removal of pathogen in drinking water and recalcitrant in wastewater. *Solar Energy*. 2008;82(12):1099-106.
14. Vargová M, Plesch G, Vogt U F, Zahoran M, Gorbár M, Jesenák K. TiO<sub>2</sub> thick films supported on reticulated macroporous Al<sub>2</sub>O<sub>3</sub> foams and their photoactivity in phenol mineralization. *Applied Surface Science*. 2011;257(10):4678-84.
15. Yao S, Li J, Shi Z. Immobilization of TiO<sub>2</sub> nanoparticles on activated carbon fiber and its photodegradation performance for organic pollutants. *Particuology*. 2010;8(3):272-78.
16. Hosseini SN, Borghei SM, Vossoughi M, Taghavinia N. Immobilization of TiO<sub>2</sub> on perlite granules for photocatalytic degradation of phenol. *Applied Catalysis B: Environmental*. 2007;74(1-2):53-62.
17. Vahdat A, Bahrami SH, Arami M, Motahari A. Decomposition and decoloration of a direct dye by electron beam radiation. *Radiation Physics and Chemistry*. 2010;79(1):33-35.
18. Damodar RA, Jagannathan K, Swaminathan T. Decolourization of reactive dyes by thin film immobilized surface photoreactor using solar irradiation.

- Solar Energy. 2007;81(1):1-7.
19. Damodar RA, Swaminathan T. Performance evaluation of a continuous flow immobilized rotating tube photocatalytic reactor (IRTPR) immobilized with TiO<sub>2</sub> catalyst for azo dye degradation. Chemical Engineering Journal. 2008;144(1):59-66.
20. Parra S, Elena Stanca S, Guasaquillo I, Ravindranathan Thampi K. Photocatalytic degradation of atrazine using suspended and supported TiO<sub>2</sub>. Applied Catalysis B: Environmental. 2004;51(2):107-16.
21. So CM, Cheng MY, Yu JC, Wong PK. Degradation of azo dye Procion Red MX-5B by photocatalytic oxidation. Chemosphere. 2002;46(6):905-12.
22. Konstantinou IK, Albanis TA. TiO<sub>2</sub>-assisted photocatalytic degradation of azo dyes in aqueous solution: kinetic and mechanistic investigations: A review. Applied Catalysis B: Environmental. 2004;49(1):1-14.
23. Kaur S, Singh V. TiO<sub>2</sub> mediated photocatalytic degradation studies of Reactive Red 198 by UV irradiation. Journal of Hazardous Materials. 2007;141(1):230-36.
24. Li XZ, Li FB, Yang CL, Ge WK. Photocatalytic activity of WO<sub>x</sub>-TiO<sub>2</sub> under visible light irradiation. Journal of Photochemistry and Photobiology A: Chemistry. 2001;141(2-3):209-17.
25. Malato S, Fernández-Ibáñez P, Maldonado MI, Blanco J, Gernjak W. Decontamination and disinfection of water by solar photocatalysis: Recent overview and trends. Catalysis Today. 2009;147(1):1-59.

# Comparative Study on the Photodegradation of Acid Black 26 from Synthetic Wastewater using Slurry and Immobilized TiO<sub>2</sub> on the Sackcloth Fiber

Alijani Somayeh<sup>1</sup>, Vaez Mohammad<sup>1</sup>, \*Zaringhalam Moghadam Abdolsamad<sup>1</sup>

Department of Chemical Engineering, Faculty of Chemical Engineering, Tarbiat Modares University, Tehran, Iran

Department of Chemical Engineering, Faculty of Chemical Engineering, Tarbiat Modares University, Tehran, Iran

Received: 6 December 2012 ; Accepted: 3 Mars 2013

## ABSTRACT

**Background and Objectives:** The development a low-cost and high efficiency water treatment technology to decolorize the organic dye effluents is desirable due to overwhelming discharge of organic synthetic dyes into the natural water cycle during the dying process. In this study, the decolorization of Acid Black 26, as the model organic contaminant, was investigated using immobilized nano-sized TiO<sub>2</sub> particles as the photocatalyst.

**Material and Methods:** Sackcloth fiber was used as a support to immobilize TiO<sub>2</sub> nanoparticles. The structural properties of the immobilized photocatalysts were characterized by XRD and SEM. UV-Vis absorption spectroscopy and the measurement of the chemical oxygen demand (COD) were also used for the process performance studies. Moreover, we investigated the effects of the oxidant H<sub>2</sub>O<sub>2</sub>, initial dye concentration, the presence of anion and pH on the photocatalytic degradation efficiency.

**Results:** The XRD results did not show significant changes in the structure of TiO<sub>2</sub> as a consequence of the immobilization procedure. The formation of titania crystallites in the sackcloth fiber was confirmed by SEM. Experimental results showed that after 60 min, the degradation percentage of Acid Black 26 with the immobilized TiO<sub>2</sub> particles was about 60%, which was higher than that with TiO<sub>2</sub> slurry. Based on the COD results, after 3 h, the TiO<sub>2</sub>-coated sackcloth fiber effectively decomposed 94% of the organic compounds presenting in dye solution during the degradation of Acid Black 26.

**Conclusion:** The titania nanoparticles immobilized on the sackcloth fiber can be used as an effective and environmental friendly photocatalyst in the degradation of colored wastewater.

**Keywords:** Synthetic Wastewater, Titania nanoparticles; Immobilized photocatalyst; Sackcloth fiber, Acid Balck 26

---

\*Corresponding Author: zarrin@modares.ac.ir

Tel: +98 21 82883337, Fax: +98 21 82884931